

Индукцирование электрическим полем новой соразмерной фазы для кристалла $[\text{N}(\text{CH}_3)_4]_2\text{CuCl}_4$

© Д.Г. Санников

Институт кристаллографии им. А.В. Шубникова Российской академии наук,
119333 Москва, Россия

E-mail: sannikov@ns.crys.ras.ru

(Поступила в Редакцию 27 мая 2004 г.)

Теоретически рассмотрено индуцирование новой соразмерной фазы с безразмерным волновым числом $q = 1/3$ внешним электрическим полем для кристалла $[\text{N}(\text{CH}_3)_4]_2\text{CuCl}_4$. Построена фазовая диаграмма без поля и с полем на плоскости двух коэффициентов термодинамического потенциала.

Работа выполнена при финансовой поддержке Российского фонда фундаментальных исследований (грант № 03-02-16104).

Теоретические фазовые диаграммы температура T –давление P для кристалла $[\text{N}(\text{CH}_3)_4]_2\text{CuCl}_4$ (ТМА–CuCl) были построены в [1,2]. Они довольно хорошо совпадают с экспериментальными T – P -диаграммами, измеренными в [3–5]. На этих диаграммах присутствуют фазы: исходная C (симметрия $Pm\bar{c}n$), несоизмерная IC , соразмерная $C_{m/l}$, где m/l – значение безразмерного волнового числа $q_{m/l}$, характеризующего фазу. Для каждой фазы $C_{m/l}$ (кроме $C_{0/l}$ с $q_{0/l} = 0$) существует два разных решения и соответственно может быть две разные фазы с разной симметрией (таблица в [1,2]; возможное, но маловероятное третье решение нас здесь интересовать не будет). Реализация того или иного решения (фазы) зависит от знака коэффициента при анизотропном инварианте в термодинамическом потенциале (см. далее).

Определенным внешним воздействием на кристалл (электрическим полем, механическим напряжением) можно индуцировать другую фазу с тем же $q_{m/l}$, и на фазовой диаграмме T – P появится новая соразмерная фаза $C_{m/l}$. Цель настоящей работы — теоретическое рассмотрение индуцирования внешним электрическим полем новой $C_{1/3}$ фазы.

1. Термодинамические потенциалы

Теоретический подход к построению T – P -диаграмм для семейства ТМА-кристаллов изложен в [2] (см. также [1,6,7]). Запишем термодинамические потенциалы для фаз $C_{1/3}$ и IC кристалла ТМА–CuCl при наличии электрического поля E_x (P_x — поляризация, направленная вдоль оси x)

$$\begin{aligned} \Phi_{1/3} &= \alpha(q_{1/3})\rho^2 + \beta\rho^4 + \gamma\rho^6 - \alpha'_3\rho^6 \cos 6\varphi \\ &\quad - g_3P_x\rho^3 \cos 3\varphi + sP_x^2 - P_xE_x, \\ \Phi_{IC} &= \alpha(b)\rho^2 + \beta\rho^4 + \gamma\rho^6 + sP_x^2 - P_xE_x, \end{aligned} \quad (1)$$

где предполагается, что коэффициенты $\beta > 0$, $\gamma > 0$, $s > 0$. Формулы (1) при $E_x = 0$ и $P_x = 0$ совпадают с (1) и (2) в [1].

Зависимость коэффициента упругости $\alpha(q)$ мягкой ветви спектра нормальных колебаний кристалла от безразмерного волнового числа $q = k_z/c^*$ определяется выражением

$$\alpha(q) = \alpha - \delta q^2 - \kappa q^4 + \tau q^6 \quad (\kappa > 0, \tau > 0), \quad (2)$$

которое можно переписать в виде

$$\begin{aligned} \alpha(q) &= a + \Delta(q), \quad \Delta(q) = \tau(b^2 - q^2)^2[q^2 + 2(b^2 - q_L^2)], \\ \delta &= \tau b^2(3b^2 - 4q_L^2), \quad q_L^2 \equiv \kappa/2\tau, \quad \Delta_3 = \Delta(q_{1/3}), \end{aligned} \quad (3)$$

где a и b — координаты минимума мягкой ветви (2) в произвольной точке зоны Бриллюэна.

Удобно перейти к безразмерным переменным ϕ , R , P , E и параметрам $A_\gamma, A_3, g, G, B, D, Q_L, A, D_3$ (Q — число)

$$\begin{aligned} \Phi &= \phi\Phi_0, \quad \rho = RR_0, \quad P_x = PP_0, \quad E_x = EE_0, \\ \Phi_0 &= P_0^2 = E_0^2 = (\tau Q^6)^2/\beta, \quad R_0^2 = \tau Q^6/\beta, \\ \gamma &= 4\beta^2 A_\gamma/\tau Q^6, \quad |\alpha'_3| = 4\beta^2 A_3/\tau Q^6, \quad g_3^2 = 4\beta^2 g^2/\tau Q^6, \\ G &= g^2/8s, \quad b = BQ, \quad q_L = Q_LQ, \quad \delta = D\tau Q^4, \\ a &= -A\tau Q^6, \quad \Delta_3 = D_3\tau Q^6. \end{aligned} \quad (4)$$

Термодинамические потенциалы (1) приобретают теперь вид (полагаем $\alpha'_3 < 0$, см. далее)

$$\begin{aligned} \phi_{1/3} &= -(A - D_3)R^2 + R^4 + 4A_\gamma R^6 + 4A_3 R^6 \cos 6\varphi \\ &\quad - 2gPR^3 \cos 3\varphi + sP^2 - PE, \\ \phi_{IC} &= -AR^2 + R^4 + 4A_\gamma R^6 + sP^2 - PE. \end{aligned} \quad (5)$$

2. Равновесные значения

Варьируя $\phi_{1/3}$ (5) по φ и по P , получим два решения — фазы c_1 и c_2 .

$$\begin{aligned} c_1: \quad \cos 3\varphi &= gE/16s(A_3 - G)R^3, \quad P_1 = A_3E/2s(A_3 - G); \\ c_2: \quad \cos 3\varphi &= g/|g|, \quad P_2 = |g|R^3/s + E/2s. \end{aligned} \quad (6)$$

Знак коэффициента α'_3 выбираем такой ($\alpha'_3 < 0$), чтобы в отсутствие поля, $E = 0$, реализовалось решение: фаза c_1

(симметрия $P12_1c1$, см. таблицу в [1] или [2]). Первое слагаемое в P_2 — спонтанная поляризация (фаза c_2 — несобственная сегнетоэлектрическая; симметрия $P2_1cn$).

Подставив (6) в (5), найдем

$$\begin{aligned}\phi_1 &= -(A - D_3)R^2 + R^4 + 4(A_\gamma - A_3)R^6 \\ &\quad - GE^2/4s(A_3 - G) - E^2/4s, \\ \phi_2 &= -(A - D_3)R^2 + R^4 + 4(A_\gamma + A_3 - 2G)R^6 \\ &\quad - |g|ER^3/s - E^2/4s.\end{aligned}\quad (7)$$

Варируя ϕ_{IC} (5) по P и подставляя полученное P в (5), найдем

$$\begin{aligned}P &= E/2s, \quad \phi_C = -E^2/4s, \\ \phi_{IC} &= -AR^2 + R^4 + 4A_\gamma R^6 - E^2/4s,\end{aligned}\quad (8)$$

где добавлен потенциал ϕ_C для исходной фазы. Заметим, что слагаемое $E^2/4s$ одинаково для всех фаз, и в дальнейшем его отбрасываем.

Варируя потенциалы (7), (8) по R и подставляя полученные выражения для R в ϕ , найдем

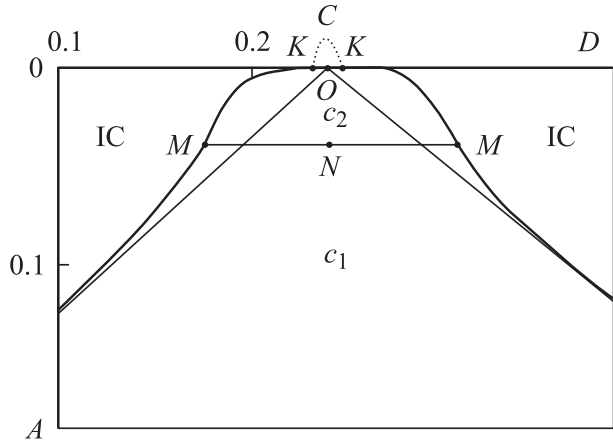
$$\begin{aligned}\phi_1 &= -1/4(A - D_3)^2\{1 - 2(A_\gamma - A_3)(A - D_3)\} \\ &\quad - GE^2/4s(A_3 - G), \\ \phi_2 &= -1/4(A - D_3)^2\{1 - 2(A_\gamma + A_3 - 2G)(A - D_3) \\ &\quad + 8[GE^2/4s(A - D_3)]^{1/2}\}, \\ \phi_{IC} &= -1/4A^2\{1 - 2A_\gamma A\}.\end{aligned}\quad (9)$$

В (9) проводились разложения в ряды по малым слагаемым. Предполагается, что $A_\gamma A \ll 1$ и $E^2/4s \ll 1$. Заметим, что выражение для ϕ_2 в (9) справедливо лишь при $A - D_3 > 0$.

3. Границы между фазами и фазовая диаграмма

Приравнивая потенциалы (9) друг другу и снова используя разложения по малым слагаемым, получим выражения для границ между фазами.

$$\begin{aligned}C-IC: & A = 0, \\ c_1-IC: & D_3 = A_3 A^2 + 2GE^2/4s(A_3 - G)A, \\ C-c_2: & -A = -D_3 + 8GE^2/4s, \quad (A < 0), \\ c_1-c_2: & A = D_3 + [GE^2/4s(A_3 - G)]^{1/3}, \\ c_2-IC: & D_3 = -(A_3 - 2G)A^2 + 4[(GE^2/4s)A]^{1/2}, \quad (A > D_3), \\ c_2-IC: & D_3 = A + 8GE^2/4s.\end{aligned}\quad (10)$$



Фазовая диаграмма на плоскости D, A . Наклонными прямыми, исходящими из точки O , обозначена граница $IC-C_{1/3}$ в отсутствие поля, $E = 0$, пунктиром — граница $C-c_2$, увеличенная в 10^3 раз вдоль оси A .

Последнее выражение для границы c_2-IC получено в окрестности точки K (см. рисунок). Координаты точек K, N и O определяются из выражений для границ $C-c_2$ и c_1-c_2 (10), если в них положить $D_3 = 0$ для (N и O) и $A = 0$ (для K). Приведем координаты точек M (см. рисунок)

$$\begin{aligned}A &= [GE^2/4s(A_3 - G)]^{1/3}, \\ D_3 &= (3A_3 - 2G)[GE^2/4s(A_3 - G)]^{2/3}.\end{aligned}\quad (11)$$

Заметим, что фазовый переход c_1-c_2 — является переходом второго рода.

По формулам (10) можно построить фазовую диаграмму на плоскости $D-A$. Выбираем следующие значения параметров (такие же, как в [1]):

$$Q_L^2 = 0.2, \quad A_\gamma = A_3 = 2G = 0.36, \quad Q = 0.5.\quad (12)$$

Положим $E^2/4s = 10^{-5}$. При таком выборе этого значения область существования фазы c_2 имеет заметные размеры (см. рисунок). Координаты точек M на оси D , как следует из (3), (4) и (11), соответствуют значениям $q = 0.317$ и 0.35 (координата точки O : $q = 0.333$). При $E^2/4s = 10^{-6}$ значение A в точке N будет меньше в $10^{1/3}$ раз, а между точками M — в $10^{2/3}$ раз и т.д., см. (11). Остается надеяться, что в эксперименте возможно достичь значений полей, при которых размеры индуцируемой фазы c_2 будут достаточными, чтобы ее можно было заметить на экспериментальной фазовой диаграмме $T-P$.

Теоретическую фазовую $T-P$ -диаграмму, которую можно построить на основе диаграммы на плоскости $D-A$ (см. рисунок), здесь не приводим, поскольку по виду она не сильно отличается от $D-A$ -диаграммы (см. [1,2]).

Список литературы

- [1] Д.Г. Санников. ФТТ **42**, 12, 2213 (2000).
- [2] H. Mashiyama, G.A. Kessenikh, D.G. Sannikov. *Ferroelectrics* **283**, 109 (2003).
- [3] K. Gesi. *J. Phys. Soc. Jpn.* **65**, 7, 1963 (1996).
- [4] S. Shimomura, H. Terauchi, N. Hamaya, Y. Fujii. *Phys. Rev. B* **54**, 10, 6915 (1996).
- [5] K. Gesi. *Кристаллография* **44**, 1, 89 (1999).
- [6] D.G. Sannikov, G.A. Kessenikh, H. Mashiyama. *J. Phys. Soc. Jpn.* **69**, 1, 130 (2000); *ibid.* **71**, 6, 1435 (2002).
- [7] D.G. Sannikov, H. Mashiyama. *J. Phys. Soc. Jpn.* **71**, 7, 1698 (2002); *ibid.* **72**, 6, 1423 (2003).